

## Анализ влияния линейной и угловой скорости частицы на уравнения движения жидкости

**В. А. Бударин**

Аналізується рівняння руху в напругах (Нав'є), а також два його окремих випадки для нестисливої в'язкої течії. Одне з них – рівняння Стокса (Нав'є-Стокса), а друге отримано при меншій кількості обмежень. Виконано порівняння додатків для опису в'язкого тертя в обох рівняннях. Показано, що рівняння Лапласа від лінійної швидкості можна представити як функцію двох змінних – лінійної і кутової швидкості обертання частинок. Для опису прискорення частинки в усіх рівняннях руху використовувався повна похідна від швидкості в формі Громека-Лемба, яка залежить від тих же змінних.

Врахування спільного впливу лінійної та кутової швидкості дозволяє вирішити проблему аналітичного опису турбулентного течії в межах осередненої моделі. Даний метод аналізу використовує положення загальної фізики, де розглядається поступальний і обертальний рух тіла. Третій вид механічного руху – коливальний (пульсації) в роботі не розглядається.

Знайдена властивість розпаду рівнянь руху і побудована блок-схема з рівнянь та умов. Показано, що всі рівняння для в'язкої рідини мають свого аналога в більш простій моделі нев'язкої рідини. Це полегшує знаходження рішень для в'язкої течії

За допомогою рівнянь Стокса і Нав'є вирішені дві одновимірні задачі, в яких знайдено розподіл швидкості по нормалі до поверхні при течії на горизонтальній пластинці та в круглій трубі. Обидва методи дають однаковий результат. Рішення для розподілу швидкості по нормалі до поверхні в ламінарному підшару знайти не вдалося. Актуальним завданням математичної частини є вирішення проблеми замикання розглянутих рівнянь.

Виконано порівняння теоретичних та емпіричних рівнянь, що дало змогу обґрунтувати припущення: стоксовську рідиною є розріджений газ. Аналіз рівняння Нав'є показав, що воно призначене для знаходження розподілу напружень при турбулентній течії.

Ключові слова: усереднена модель турбулентності, в'язке тертя, рівняння Стокса, рівняння Нав'є.

### 1. Введение

В основе классического метода построения математических моделей в механике жидкости лежит уравнение движения в напряжениях (Навье), которое является частным случаем закона сохранения количества движения [1–3]. Уравнение Навье имеет два частных случая для вязкой жидкости: уравнение Стокса (Навье-Стокса), а второе получено при меньшем количестве ограничений в работе [4]. Оба уравнения учитывают влияние массовых сил, сил давле-

ния, трения и инерции, однако имеют разные выражения для двух слагаемых – ускорений от сил трения и давления.

Характерной особенностью уравнения Стокса является отсутствие влияния вращения частиц, в то время как во втором уравнении это влияние присутствует [4]. Оба уравнения являются частными случаями одного уравнения (Навье), используют реологическое уравнение Ньютона и должны иметь одинаковую функциональную зависимость для одинаковых слагаемых.

Отмеченное противоречие требует выяснения причин такого несоответствия, что может улучшить математическую модель течения, которая широко используется в инженерной практике.

Точные решения уравнения Стокса согласуются с экспериментами только при малых числах Рейнольдса. Известно решение Стокса для движения шара в ньютоновской жидкости, которое согласуется с экспериментальными данными в опытах с неньютоновской жидкостью (глицерином или касторовым маслом) [1, 2]. Эти противоречия между теорией и экспериментом не имеют удовлетворительного объяснения.

Аналогичные математические модели построены и используются в теории упругости и теплопроводности [5, 6]. Они позволяют рассчитать физические поля с высоким качеством и с минимальным использованием эксперимента. Компьютерные программы, используемые в механике жидкости, (Flowvision, Phoenix и др.) дают хорошие результаты только в узком диапазоне изменения влияющих факторов и их решения часто являются неустойчивыми (приближенными). Этот недостаток требует проведения экспериментальной проверки численных расчетов, увеличивает стоимость и сроки разработок [2, 3]. Считается, что одной из причин этих проблем являются сами расчетные уравнения (Стокса, Рейнольдса и др.).

Одним из путей разрешения имеющихся проблем является учет дополнительного влияющего фактора – угловой скорости вращения частиц. Данное свойство должно играть ключевую роль в описании процесса течения, но в современных моделях оно не используется [1–3].

Таким образом, актуальным является поиск новых форм уравнения Стокса и их точных решений, выполняемых по классической схеме в соответствии с положениями общей физики.

## **2. Анализ литературных данных и постановка задачи**

В рамках осредненной модели турбулентность возникает при появлении вращения частиц и наличия пульсаций скорости, в противном случае имеет место ламинарный режим. Данная физическая модель известна более 100 лет, однако в классических уравнениях движения (Стокса, Рейнольдса для осредненного турбулентного течения, уравнениях пограничного слоя и др.) не учитывается, что противоречит определению турбулентности и его ключевым признакам [1–3].

Уравнение Стокса выводится двумя способами: с применением общих теорем математики и с использованием уравнения движения в напряжениях (Навье).

Наибольшее количество работ посвящено анализу первого варианта вывода с целью получения точных и численных решений различных задач. Данный способ анализа используется в работе [7]. В основе получения численных решений лежит уравнение Стокса для несжимаемой жидкости. Показано, что существует большой класс решений для областей различной геометрии. Процесс решения сопровождается использованием допущений без ясного физического смысла, сравнение с экспериментом отсутствует. Эта и другие аналогичные задачи относятся к чистой математике и не дают возможности использовать полученные решения на практике.

Анализ второго способа вывода позволил получить два точных решения для течения в трубе и на горизонтальной пластинке в форме общих интегралов. Для этого использовался частный случай уравнения (1). Эти решения не удалось применить к практическим задачам т.к. их связь с режимами течения неизвестна [2, 3].

В большинстве применений используют следующую форму уравнения Стокса:

$$G - \frac{1}{\rho} \operatorname{grad} p + \nu \cdot \nabla^2 u = \frac{du}{dt}, \quad (1)$$

Из (1) следует, что основным фактором, учитывающим динамику течения, является линейная скорость, которая влияет на слагаемые от силы вязкого трения и инерции. Это плохо согласуется с положением общей механики, где рассматривается три вида движения: поступательное, вращательное и колебательное.

В работе [4] анализируется другой частный случай уравнения Навье, в котором учитывается влияние угловой скорости вращения частиц.

Это уравнение имеет вид:

$$G - \frac{1}{\rho} \operatorname{div} p + 2\nu \cdot f(u, \omega) = \frac{du}{dt}. \quad (2)$$

Оба уравнения выведены при различных ограничениях, которые представлены в табл. 1.

В уравнении (1) ограничения относятся к касательным и нормальным напряжениям ( $\tau, p_{xx}, p_{yy}, p_{zz}$ ), а в уравнении (2) – только к касательным. Таким образом, нормальные напряжения (давление) в уравнении (2) могут меняться произвольно, а в уравнении Стокса – только по установленным правилам, т. е. ограничения являются более жесткими. Соотношения для нормальных напряжений ( $p_{xx}, p_{yy}, p_{zz}$ ) составляют содержание гипотезы линейности, которая в настоящее время не доказана [1, 2].

Различные уравнения движения должны относиться к разным группам жидкостей с разными названиями, однако в настоящее время нет рекомендаций по корректной терминологии, учитывающей различие в математических ограничениях.

Таблица 1

Ограничения для вывода уравнений (1) и (2).

N	Ограничения для уравнения Навье	Уравнение движения	Название жидкости
1	$\tau = \mu \cdot \text{grad} u;$ $p_{xx} = -p + 2\mu \frac{\partial u_x}{\partial x};$ $p_{yy} = -p + 2\mu \frac{\partial u_y}{\partial y};$ $p_{zz} = -p + 2\mu \frac{\partial u_z}{\partial z}$	(1)	Стоксовская (Ньютоновская)
2	$\tau = \mu \cdot \text{grad} u$	(2)	Ньютоновская

Большое значение для анализа течений имеет уравнение для полной производной от скорости в форме Громека-Лэмба. Эта форма записи эквивалентна стандартной формуле, но позволяет установить влияние линейной и угловой скорости на полное ускорение частицы ( $du/dt$ ).

В векторной форме данное уравнение имеет вид:

$$\frac{du}{dt} = \frac{\partial u}{\partial t} + \text{grad} \left( \frac{u^2}{2} \right) + 2 \cdot [\vec{\omega} \times \vec{u}]. \quad (3)$$

В проекциях на оси координат:

$$\frac{du_x}{dt} = \frac{\partial u_x}{\partial t} + \frac{\partial}{\partial x} \left( \frac{u^2}{2} \right) + 2 \cdot (u_z \omega_y - u_y \omega_z),$$

$$\frac{du_y}{dt} = \frac{\partial u_y}{\partial t} + \frac{\partial}{\partial y} \left( \frac{u^2}{2} \right) + 2 \cdot (u_x \omega_z - u_z \omega_x),$$

$$\frac{du_z}{dt} = \frac{\partial u_z}{\partial t} + \frac{\partial}{\partial z} \left( \frac{u^2}{2} \right) + 2 \cdot (u_y \omega_x - u_x \omega_y).$$

Конвективная часть полного ускорения в (3) следует также из формулы векторного анализа  $(\vec{u} \cdot \nabla) \vec{u} = \text{grad}(u^2 / 2) + \text{rot} \vec{u} \cdot \vec{u}$ .

Уравнению (3) должны удовлетворять полные производные во всех уравнениях движения независимо от учета (неучета) вязкости, однако они используются только в уравнении Эйлера для идеальной жидкости.

Полное ускорение в уравнениях Навье, (1) и (2) также должно удовлетворять выражению для полной производной в форме (3). Из формальной записи уравнения (1) следует, что оператор Лапласа от скорости зависит только от одного аргумента ( $u$ ), а полное ускорение от двух аргументов ( $u$  и  $\omega$ ). Таким образом, с точки зрения физики  $\nabla^2 u$  характеризует ламинарный режим течения, а полное ускорение – турбулентный. Отсутствие согласованного влияния  $u$  и  $\omega$  на оба слагаемых затрудняет возможность получения общего решения уравнения Стокса.

В работе [8] анализируются проблемы уравнения Стокса и приводятся примеры заблуждений (противоречий) в теоретической гидродинамике. Отмечается, что одной из общих проблем является описание вихревых течений, возникающих под влиянием сил вязкости и инерции, а также предлагается модель обтекания тонкой горизонтальной пластинки. Данная модель дает частичное описание течения и использует упрощения, которые не позволяют учесть влияние всех существующих режимов.

Проблемы с решением уравнения (1) привели к разработке новых моделей и уравнений, которые имеют ограниченную область использования. Одна из таких моделей (уравнение Биркгофа-Ротта) используется для анализа вращения лопастей ветрогенератора [9]. Характерным свойством такого процесса является вращение частиц потока, которое учитывается косвенным способом. Разработанная модель дает удовлетворительный результат, но является сложной для инженерного использования и характеризуется многочисленными ограничениями.

Для сложных процессов уравнение движения используют в составе системы уравнений совместно с уравнениями теплообмена и электромагнетизма. В работе [10] разработана модель численного решения задачи конвекции в сосуде для хранения криогенных жидкостей. Учет влияния вращения частиц выполняется косвенным способом, т. к. этот фактор отсутствует в уравнении (1). Реализация данной модели требует разработки отдельной компьютерной программы, что затрудняет ее использование.

В работе [11] моделируется система уравнений, в которой присутствует частный случай уравнения Стокса без вязкости и уравнения электромагнетизма. Такое упрощение позволяет получить приближенную картину распределения потоков массы и заряда только для двумерной модели течения в ускорителе. Результаты расчета требуют дополнительного уточнения параметров процесса с помощью эксперимента.

Недостатки анализируемых работ вызваны отсутствием корректной модели движения жидкости и сложностью решения нелинейного уравнения (1). Это привело к появлению упрощенных теоретических или полуэмпирических моделей, которые позволяют решить только частные задачи в узком диапазоне влияющих факторов.

Уравнение Стокса находится вблизи закона сохранения количества движения, является общим и претендует на статус основного в механике жидкости [12]. В настоящей работе рассматриваются некоторые противоречия этого уравнения, а также способы их устранения. Это позволит уточнить границы его применимости с точки зрения математики и физики.

### 3. Цель и задачи исследования

Целью исследования является получение уравнений движения с учетом согласованного влияния линейной и угловой скорости на слагаемые, учитывающие трение и инерцию. Это позволит построить более полные и точные математические модели, что расширит спектр решаемых задач и улучшит их качество.

Для достижения поставленной цели необходимо решить следующие задачи:

- выполнить анализ оператора Лапласа от скорости, установить его зависимость от  $\omega$  и найти новую форму уравнения Стокса и его частные случаи;
- решить и проанализировать две частные задачи.

### 4. Анализ уравнений движения

#### 4. 1. Оператор Лапласа и уравнение Стокса. Частные случаи

Приведем уравнение Стокса к виду более удобному для последующего анализа и объединим слагаемые, учитывающие вязкость. Выполним необходимые преобразования для координаты  $x$ .

- из ограничения для нормального напряжения (табл. 1):

$$p_{xx} = -p + 2\mu \frac{\partial u_x}{\partial x} = -p_x \text{ или } p = p_x + 2\mu \frac{\partial u_x}{\partial x},$$

где нормальное напряжение  $p_{xx} = -p_x$  по правилу знаков.

Тогда, слагаемое от давления примет вид:

$$-\frac{1}{\rho} \frac{\partial p}{\partial x} = -\frac{1}{\rho} \frac{\partial}{\partial x} \left( p_x + 2\mu \frac{\partial u_x}{\partial x} \right) = -\frac{1}{\rho} \frac{\partial p_x}{\partial x} - 2\nu \frac{\partial^2 u_x}{\partial x^2}; \quad (4)$$

– преобразуем оператор Лапласа и выделим слагаемые, учитывающие влияние линейной и угловой скорости.

Тогда

$$\nabla^2 u_x = \frac{\partial^2 u_x}{\partial x^2} + \frac{\partial^2 u_x}{\partial y^2} + \frac{\partial^2 u_x}{\partial z^2}.$$

Выразим второе и третье слагаемые через первую производную, добавим в скобках ноль и представив его в виде двух одинаковых слагаемых с разными знаками.

$$\frac{\partial^2 u_x}{\partial y^2} = \frac{\partial}{\partial y} \left( \frac{\partial u_x}{\partial y} - \frac{\partial u_y}{\partial x} + \frac{\partial u_y}{\partial x} \right) = \frac{\partial^2 u_y}{\partial x \partial y} - \frac{\partial (\text{rot } u)_z}{\partial y} = \frac{\partial^2 u_y}{\partial x \partial y} - 2 \frac{\partial \omega_z}{\partial y},$$

$$\frac{\partial^2 u_x}{\partial z^2} = \frac{\partial}{\partial z} \left( \frac{\partial u_x}{\partial z} - \frac{\partial u_z}{\partial x} + \frac{\partial u_z}{\partial x} \right) = \frac{\partial^2 u_z}{\partial x \partial z} + \frac{\partial (\text{rot } u)_y}{\partial z} = \frac{\partial^2 u_z}{\partial x \partial z} + 2 \frac{\partial \omega_y}{\partial z}.$$

Из данных уравнений следует, что существует функция  $\psi(u, \omega)$ , которая зависит от двух аргументов и имеет составляющую на ось  $x$  в виде:

$$\psi_x(u, \omega) = \frac{\partial^2 u_x}{\partial x^2} + \frac{\partial^2 u_y}{\partial x \partial y} + \frac{\partial^2 u_z}{\partial x \partial z} + 2 \left( \frac{\partial \omega_y}{\partial z} - \frac{\partial \omega_z}{\partial y} \right).$$

С учетом последнего уравнения и (4) получим:

$$-\frac{1}{\rho} \frac{\partial p}{\partial x} + \nu \cdot \nabla^2 u_x = -\frac{1}{\rho} \frac{\partial p_x}{\partial x} + \nu \left[ -\frac{\partial^2 u_x}{\partial x^2} + \frac{\partial^2 u_y}{\partial x \partial y} + \frac{\partial^2 u_z}{\partial x \partial z} + 2 \left( \frac{\partial \omega_y}{\partial z} - \frac{\partial \omega_z}{\partial y} \right) \right].$$

Выражение в квадратных скобках является функцией двух аргументов –  $\varphi_x(u, \omega)$ . Выполняя аналогичные преобразования для осей  $y$  и  $z$  получим:

$$\begin{aligned} \varphi_x(u, \omega) &= -\frac{\partial^2 u_x}{\partial x^2} + \frac{\partial^2 u_y}{\partial x \partial y} + \frac{\partial^2 u_z}{\partial x \partial z} - 2(\text{rot } \omega)_x, \\ \varphi_y(u, \omega) &= \frac{\partial^2 u_x}{\partial x \partial y} - \frac{\partial^2 u_y}{\partial y^2} + \frac{\partial^2 u_z}{\partial y \partial z} - 2(\text{rot } \omega)_y, \\ \varphi_z(u, \omega) &= \frac{\partial^2 u_x}{\partial x \partial z} + \frac{\partial^2 u_y}{\partial y \partial z} - \frac{\partial^2 u_z}{\partial z^2} - 2(\text{rot } \omega)_z, \end{aligned} \tag{5}$$

где

$$(\text{rot } \omega)_x = \frac{\partial \omega_z}{\partial y} - \frac{\partial \omega_y}{\partial z};$$

$$(\text{rot } \omega)_y = \frac{\partial \omega_x}{\partial z} - \frac{\partial \omega_z}{\partial x};$$

$$(\text{rot } \omega)_z = \frac{\partial \omega_y}{\partial x} - \frac{\partial \omega_x}{\partial y}.$$

С учетом (5) и полной производной в форме (3) уравнение Стокса можно записать:

$$\begin{aligned}
& X - \frac{1}{\rho} \frac{\partial p_x}{\partial x} + \nu \cdot \left[ -\frac{\partial^2 u_x}{\partial x^2} + \frac{\partial^2 u_y}{\partial x \partial y} + \frac{\partial^2 u_z}{\partial x \partial z} - 2(\text{rot } \omega)_x \right] - \\
& - \frac{\partial}{\partial x} \left( \frac{u^2}{2} \right) = \frac{\partial u_x}{\partial t} + 2(u_z \omega_y - u_y \omega_z), \\
& Y - \frac{1}{\rho} \frac{\partial p_x}{\partial y} + \nu \cdot \left[ \frac{\partial^2 u_x}{\partial x \partial y} - \frac{\partial^2 u_y}{\partial y^2} + \frac{\partial^2 u_z}{\partial y \partial z} - 2(\text{rot } \omega)_y \right] - \\
& - \frac{\partial}{\partial y} \left( \frac{u^2}{2} \right) = \frac{\partial u_y}{\partial t} + 2(u_x \omega_z - u_z \omega_x), \\
& Z - \frac{1}{\rho} \frac{\partial p_x}{\partial z} + \nu \cdot \left[ \frac{\partial^2 u_x}{\partial x \partial z} + \frac{\partial^2 u_y}{\partial y \partial z} - \frac{\partial^2 u_z}{\partial z^2} - 2(\text{rot } \omega)_z \right] - \\
& - \frac{\partial}{\partial z} \left( \frac{u^2}{2} \right) = \frac{\partial u_z}{\partial t} + 2(u_y \omega_x - u_x \omega_y).
\end{aligned} \tag{6}$$

В этой форме записи слагаемые, учитывающие вязкое трение и инерцию имеют одинаковые влияющие факторы –  $(u, \omega)$ . В краткой форме систему (6) можно записать:

$$G - \frac{1}{\rho} \text{div} p + \nu \cdot \varphi(u, \omega) - \text{grad} \left( \frac{u^2}{2} \right) = \frac{\partial u}{\partial t} + 2[\vec{\omega} \times \vec{u}]. \tag{7}$$

Из уравнения (7) следует, что уравнение Стокса описывает турбулентный режим течения в рамках осредненной модели.

Вывод данного уравнения выполнен без использования дополнительных ограничений. Это означает, что (7) является другой формой записи уравнения Стокса.

При исключении вязкости ( $\nu=0$ ) получаем общее уравнение для невязкого течения:

$$G - \frac{1}{\rho} \text{div} p - \text{grad} \left( \frac{u^2}{2} \right) = \frac{\partial u}{\partial t} + 2[\vec{\omega} \times \vec{u}]. \tag{8}$$

При исключении касательных напряжений из уравнения Навье также получим (8).

Рассмотрим частные случаи уравнения Стокса в форме (6):

1. Для ламинарного режима течения угловая скорость  $\omega(x, y, z) = 0$  и уравнение примет вид:



$$\begin{aligned}
X - \frac{1}{\rho} \frac{\partial p_x}{\partial x} + \mathbf{v} \cdot \left( -\frac{\partial^2 u_x}{\partial x^2} + \frac{\partial^2 u_y}{\partial x \partial y} + \frac{\partial^2 u_z}{\partial x \partial z} \right) - \frac{\partial}{\partial x} \left( \frac{u^2}{2} \right) &= \frac{\partial u_x}{\partial t}, \\
Y - \frac{1}{\rho} \frac{\partial p_y}{\partial y} + \mathbf{v} \cdot \left( \frac{\partial^2 u_x}{\partial x \partial y} - \frac{\partial^2 u_y}{\partial y^2} + \frac{\partial^2 u_z}{\partial y \partial z} \right) - \frac{\partial}{\partial y} \left( \frac{u^2}{2} \right) &= \frac{\partial u_y}{\partial t}, \\
Z - \frac{1}{\rho} \frac{\partial p_z}{\partial z} + \mathbf{v} \cdot \left( \frac{\partial^2 u_x}{\partial x \partial z} + \frac{\partial^2 u_y}{\partial y \partial z} - \frac{\partial^2 u_z}{\partial z^2} \right) - \frac{\partial}{\partial z} \left( \frac{u^2}{2} \right) &= \frac{\partial u_z}{\partial t}.
\end{aligned} \tag{9}$$

В краткой форме система (9) имеет вид:

$$G - \frac{1}{\rho} \operatorname{div} p + \mathbf{v} \cdot \varphi(u) - \operatorname{grad} \left( \frac{u^2}{2} \right) = \frac{\partial u}{\partial t}. \tag{10}$$

2. При  $u(x, y, z) = 0$  из (6) получим систему уравнений для стоячего вихря

$$\begin{aligned}
X - \frac{1}{\rho} \frac{\partial p_x}{\partial x} - 2\mathbf{v} \cdot (\operatorname{rot} \omega)_x &= \frac{\partial (\omega_x r_{yz})}{\partial t}, \\
Y - \frac{1}{\rho} \frac{\partial p_y}{\partial y} - 2\mathbf{v} \cdot (\operatorname{rot} \omega)_y &= \frac{\partial (\omega_y r_{xz})}{\partial t}, \\
Z - \frac{1}{\rho} \frac{\partial p_z}{\partial z} - 2\mathbf{v} \cdot (\operatorname{rot} \omega)_z &= \frac{\partial (\omega_z r_{xy})}{\partial t}.
\end{aligned}$$

Или в краткой форме

$$G - \frac{1}{\rho} \operatorname{div} p - 2\mathbf{v} \cdot (\operatorname{rot} \omega) = \frac{\partial (\omega r)}{\partial t}. \tag{11}$$

При  $v=0$  из (10) и (11) получаем уравнения движения для невязкой модели течения:

$$G - \frac{1}{\rho} \operatorname{div} p - \operatorname{grad} \left( \frac{u^2}{2} \right) = \frac{\partial u}{\partial t}. \tag{12}$$

$$G - \frac{1}{\rho} \operatorname{div} p = \frac{\partial(\omega r)}{\partial t}. \quad (13)$$

Уравнения (12) и (13) характеризуют линейное течение без инерционных вихрей и невязкий стоячий вихрь, соответственно.

#### 4. 2. Частные задачи

Выбраны следующие частные задачи: установившееся турбулентное течение на горизонтальной пластинке и в горизонтальной круглой трубе. Цель решения обеих задач – нахождение распределения скорости по нормали к поверхности.

Поиск решений выполняется двумя способами. В первом способе используется уравнение Стокса, а во втором – уравнение Навье. При этом оба дифференциальных уравнения упрощаются и интегрируются.

С помощью первого способа находится распределение скорости путем интегрирования одномерного уравнения движения второго порядка. С помощью второго способа находится распределение касательного напряжения, а затем распределение скорости с использованием закона Ньютона для вязкого трения. Оба способа дополняют друг друга и должны давать одинаковый результат. При этом предполагается, что жидкость несжимаемая и теплофизические свойства постоянны.

Рассмотрим течение на горизонтальной пластинке при турбулентном пограничном слое (рис. 1).

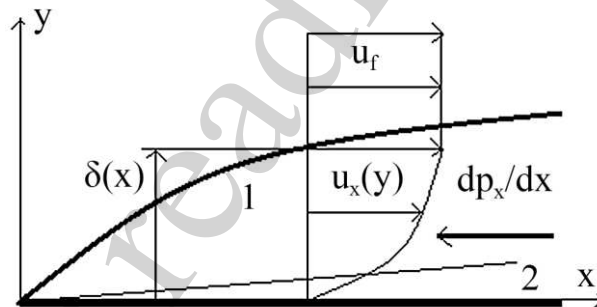


Рис. 1. Расчетная схема течения на пластинке: 1–турбулентный пограничный слой; 2 – ламинарный подслой

Воспользуемся уравнением Стокса в форме (1), которое для данного случая имеет вид:

$$\frac{d^2 u_x}{dy^2} = \frac{1}{\mu} \frac{dp}{dx}.$$

После двукратного интегрирования получим:

$$u_x(y) = \frac{1}{2\mu} \frac{dp}{dx} y^2 + c_1 y + c_2. \quad (14)$$

Применим уравнение Навье для нахождения распределения касательного напряжения. Для координаты  $x$  получим ( $p_{xx} = -p_x$ ):

$$X - \frac{1}{\rho} \frac{\partial p_x}{\partial x} + \frac{1}{\rho} \left( \frac{\partial \tau_{yx}}{\partial y} + \frac{\partial \tau_{zx}}{\partial z} \right) = \frac{du_x}{dt}.$$

После упрощения в соответствии с ранее принятыми допущениями:

$$\frac{dp_x}{dx} = \frac{d\tau_{yx}}{dy}.$$

После интегрирования при  $dp_x/dx = \text{const}$  найдем:

$$\tau_{yx} = \frac{dp_x}{dx} y + c_1.$$

Распределение скорости по нормали к поверхности пластинки найдем по уравнению:

$$\mu \frac{du_x}{dy} = \frac{dp_x}{dx} y + c_1.$$

После интегрирования [(1/μ)·(dp<sub>x</sub>/dx)=const] получим уравнение (14).

На рис. 2 показана схема нахождения общих интегралов для распределения касательного напряжения и скорости при течении на пластинке.

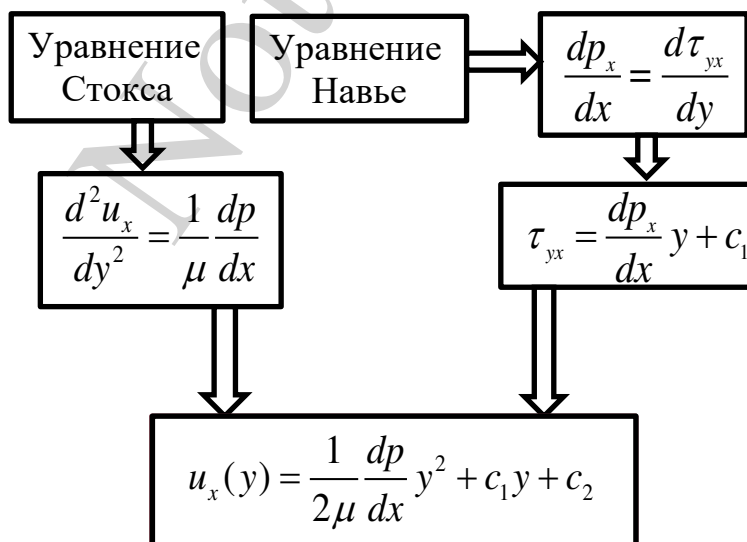


Рис. 2. Схема нахождения интегралов при турбулентном течении на пластинке.

Для нахождения распределения скорости в ламинарном подслое необходимо воспользоваться уравнением (9). Однако там нет слагаемого  $d^2u_x/dy^2$ . Это означает, что для этой части течения найти распределение скорости невозможно.

Найдем частное решение уравнения (14) для следующих граничных условий: при  $y=\delta(x)$ ,  $\tau_x(y)=0$ , а  $u_x(y=\delta)=u_f$ .

Тогда получим:

$$u_x(y) = \frac{1}{2\mu} \frac{dp_x}{dx} \left[ y^2 + \delta(x)^2 - 2y \cdot \delta(x) \right] + u_f. \quad (15)$$

На рис. 3 показано сравнение распределения скорости по уравнению (15) и известному степенному распределению  $u_x(y)/u_f = [y/\delta(x)]^{1/7}$  [1].

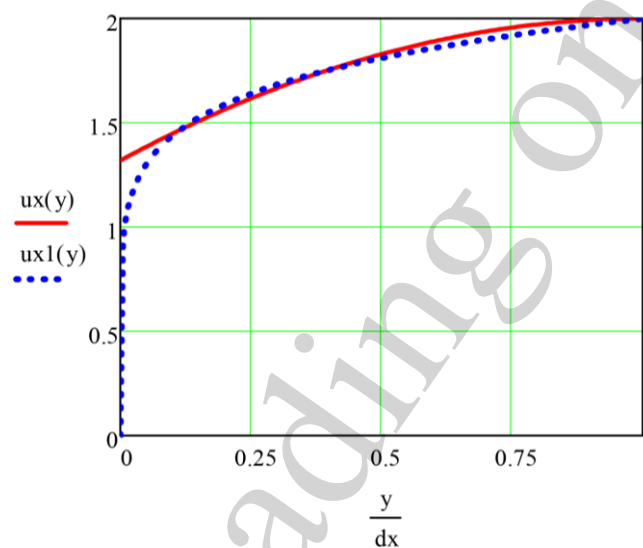


Рис. 3. Сравнение теоретического решения (15) с полуэмпирическим уравнением:  $(1/2\mu)dp_x/dx = -1700 \text{ (м}\cdot\text{с)}^{-1}$

Как следует из рис. 3, распределение скорости (15) согласуется с экспериментом только в центральной части. Это можно объяснить изменением режима течения вблизи стенки с турбулентного на ламинарное, для которого нет аналитического решения уравнения Стокса. Отклонение от эмпирического уравнения возникает при  $y/\delta(x) < 0,1$ .

Рассмотрим течение в прямой круглой трубе и найдем общие интегралы для распределения касательного напряжения и скорости вдоль радиуса трубы (рис. 4).

Воспользуемся уравнением Стокса в форме (1) в  $(r, z)$  координатах. Так как течение установившееся и одномерное, уравнение имеет вид:

$$\frac{d^2u_z}{dr^2} + \frac{1}{r} \frac{du_z}{dr} = \frac{1}{\mu} \frac{dp}{dz}.$$

После двойного интегрирования получим  $[(1/\mu)(dp/dz) = \text{const}]$ :

$$u_z(r) = \frac{1}{4\mu} \frac{dp}{dz} r^2 + c_1 \ln r + c_2. \quad (16)$$

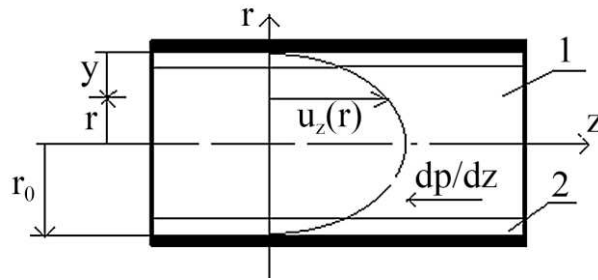


Рис. 4. Расчетная схема течения в трубе: 1 – турбулентное ядро; 2 – ламинарный подслой)

Решим эту же задачу с помощью уравнения Навье. Из уравнения в напряжениях [1–3]:

$$Z - \frac{1}{\rho} \frac{\partial p_z}{\partial z} + \frac{1}{\rho} \left( \frac{\partial \tau_{zr}}{\partial r} + \frac{1}{r} \frac{\partial \tau_{\theta r}}{\partial \theta} + \frac{\tau_{zr}}{r} \right) = \frac{du_z}{dt}, \quad (17)$$

где  $p_z$  – давление вдоль оси  $z$ , которое по правилу знаков противоположно нормальному напряжению  $p_{zz}$ .

Упростим уравнение (17), полагая, что массовые силы и вращение потока вокруг оси трубы отсутствует.

Тогда получим:

$$\frac{\partial \tau_{zr}}{\partial r} + \frac{\tau_{zr}}{r} = \frac{\partial p_z}{\partial z}. \quad (18)$$

При постоянном диаметре трубы ( $dp_z/dz = \text{const}$ ) решение уравнения (18) имеет вид:

$$\tau_{zr} = \frac{c_1}{r} + \frac{dp_z/dz \cdot r}{2}.$$

Воспользуемся уравнением Ньютона  $\tau_{zr} = \mu \cdot \frac{du_z}{dr}$ :

$$\mu \frac{du_z}{dr} = \frac{1}{2} \frac{dp_z}{dz} r + \frac{c_1}{r}.$$

После интегрирования получим уравнение (16).

На рис. 5 показана схема нахождения интеграла (16) двумя способами.

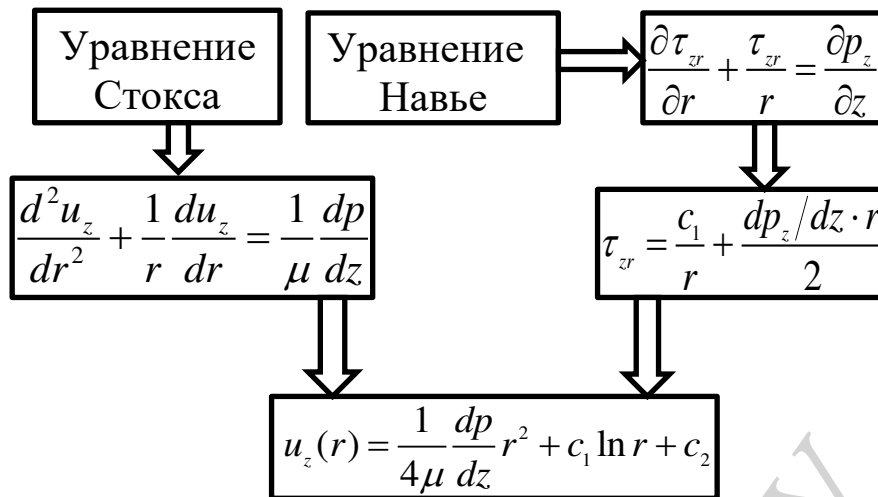


Рис. 5. Схема нахождения общих интегралов для турбулентного течения в трубе

Найдем частное решение уравнения (16) при следующих граничных условиях: при  $y=r_0$ ,  $\tau=0$  и  $u_z(y=r_0)=u_{\max}$ .

Тогда получим:

$$u_z(y) = \frac{1}{4\mu} \frac{dp_z}{dz} \left( y^2 - r_0^2 + 2r_0^2 \ln \frac{r_0}{y} \right) + u_{\max}. \quad (19)$$

Из (19) следует, что скорость на стенке  $u_z(y=0)$  не может равняться нулю. Это означает, что данное уравнение не может использоваться для пристенного ламинарного слоя.

На рис. 6 показано сравнение распределения скорости по уравнению (19) с со степенным законом для круглой трубы  $u_z(y)=u_{\max}[y/r_0]^{0,16}$  [1].

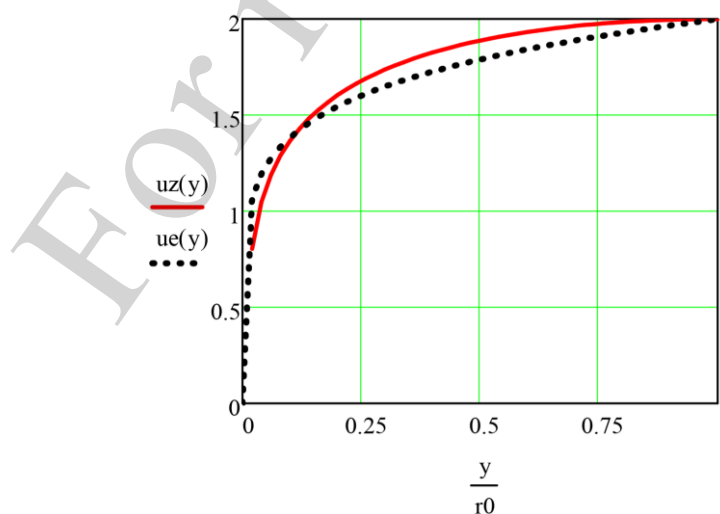


Рис. 6. Сравнение теоретического распределения скорости в трубе (красная линия) со степенным полуэмпирическим уравнением (точки):  $u_{\max}=2$  м/с, константа  $(1/4\mu) \cdot dp_z/dz = -70$  (м·с)<sup>-1</sup>

Из рис. 6 следует, что теоретическое распределение дает завышенное значение скорости (на величину порядка 10 %) при  $y/r_0 > 0,12$ . При  $y/r_0 < 0,12$  теоретическое распределение стремится к конечной величине скорости на стенке, что не соответствует гипотезе прилипания [1, 2].

Таким образом, сравнительный анализ двух теоретических решений с полужемпирическими уравнениями дает качественно одинаковый результат, несмотря на отличающиеся интегралы. В центральной части потока имеет место удовлетворительное соответствие с экспериментом, а вблизи стенки – существенное отклонение.

Теоретические кривые попадают в область эмпирических уравнений только при малых значениях констант, которые не характерны для течений при нормальных условиях (отличие в 10–100 раз). Достичь расчетных значений констант  $[(1/2\mu) \cdot (dp_x/dx) = \text{const}$  и  $(1/4\mu) \cdot (dp_z/dz) = \text{const}]$  можно при комбинации теплофизических свойств, которые присутствуют у разреженного газа (малая плотность и относительно большая вязкость). При низком давлении существует молекулярно-вязкостный режим (число Кнудсена  $\text{Kn} \sim 0,1$ ) при котором не выполняется гипотеза прилипания и распределение скоростей вблизи стенки согласуется с рис. 3 и рис. 6 [13, 14].

Таким образом, актуальным направлением экспериментального исследования является проверка предположения, что стоксовской жидкостью является разреженный газ.

## 5. Обсуждение результатов математического описания

При выводе уравнения Стокса используется закон Ньютона для вязкого трения в форме  $\tau = \mu \cdot \text{grad } u$ . Такая форма записи не имеет признака применимости к турбулентному режиму течения. Для разрешения этого противоречия выполним преобразование уравнения Ньютона применительно к одномерному обтеканию плоской пластинки (рис. 3).

Тогда

$$\tau = \mu \cdot \left( \frac{du_x}{dy} - \frac{du_y}{dx} + \frac{du_y}{dx} \right) = \mu \cdot \left( \frac{du_y}{dx} - 2\omega_z \right), \quad (20)$$

где

$$(\text{rot } u)_z = \frac{du_y}{dx} - \frac{du_x}{dy} = 2\omega_z.$$

Присутствие в (20) линейной и угловой скорости указывает, что закон трения Ньютона справедлив для двух режимов течения – ламинарного и турбулентного. Такой же вывод следует из анализа трехмерного варианта закона Ньютона [4].

Проведенный анализ показал, что существуют три частных случая уравнения Стокса, два из которых получены в результате применения ограничений для модели вязкой жидкости ( $\omega=0$  и  $u=0$ ).

При использовании условия  $v=0$  получаем общее уравнение для невязкой жидкости (8). Такое же уравнение следует из уравнения Навье при исключении касательных напряжений ( $\tau_{ij}$ ) и использовании полной производной от скорости в форме (3).

В табл. 2 приведены уравнения движения для вязких течений при различных режимах, а также их аналоги в модели невязкой жидкости.

Таблица 2  
Уравнения движения для вязких и невязких течений

Equation	$u(x,y,z) \neq 0$ $\omega(x,y,z) \neq 0$	$u(x,y,z) \neq 0$ $\omega(x,y,z) = 0$	$u(x,y,z) = 0$ $\omega(x,y,z) \neq 0$
(1)	$G - \frac{1}{\rho} \operatorname{div} p + v \cdot \varphi(u, \omega)$	$G - \frac{1}{\rho} \frac{du}{dt} \operatorname{div} p + v \cdot \varphi(u) - \operatorname{grad} \left( \frac{u^2}{2} \right)$	$G - \frac{1}{\rho} \frac{\partial u}{\partial t} \operatorname{div} p + v \cdot \varphi(\omega) = \frac{\partial(\omega r)}{\partial t}$
Navier ( $\tau_{ij}=0$ )	$G - \frac{1}{\rho} \operatorname{div} p = \frac{du}{dt}$	$G - \frac{1}{\rho} \operatorname{div} p - \operatorname{grad} \left( \frac{u^2}{2} \right) = \frac{\partial u}{\partial t}$	$G - \frac{1}{\rho} \operatorname{div} p = \frac{\partial(\omega r)}{\partial t}$

На рис. 7 приведена блок-схема распада уравнений Навье и Стокса по условиям табл. 2. В этой схеме нет уравнения Эйлера для идеальной жидкости, так как оно требует дополнительного допущения для гидростатического закона распределения давления ( $p_x=p_y=p_z=p$ ).

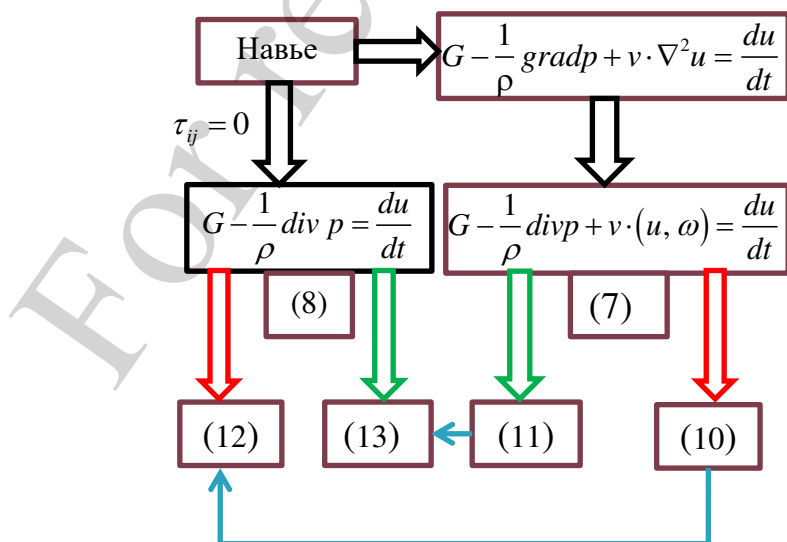


Рис. 7. Блок-схема распада уравнений для вязкой и невязкой жидкости. Условия: красные стрелки –  $\omega=0$ , зеленые –  $u=0$ , синие –  $v=0$ .



Уравнения в табл. 2 имеют шесть неизвестных ( $p_x, p_y, p_z, u_x, u_y, u_z$ ) и являются незамкнутыми. Это свойство ограничивает возможности использования рассмотренных уравнений т. к. позволяет решать только одномерные задачи. Таким образом, актуальным направлением математического исследования является изучение путей решения проблемы замыкания.

## 6. Выводы

1. Использование уравнения Громека-Лэмба для нахождения полного ускорения  $du/dt$ , а также преобразование оператора Лапласа позволило найти влияние линейной и угловой скорости частиц на уравнение Стокса. Применение условий для безвихревого течения ( $\omega=0$ ), для стоячего вихря ( $u=0$ ) и для модели невязкой жидкости ( $\nu=0$ ) позволило составить схему распада уравнения Стокса и сравнить ее с частными случаями уравнения Навье.

Учет влияния угловой скорости частиц позволяет более полно описать течение ньютоновской (стоксовской) жидкости, а также найти новые методы решения уравнений движения.

2. Сравнение частных решений уравнения Стокса для горизонтальной пластинки и трубы с полуэмпирическими уравнениями позволило обосновать предположение, что стоксовской жидкостью является разреженный газ. Экспериментальное подтверждение этого предположения может привести к практическим применениям в области вакуумной техники.

## Литература

1. Лойцянский, Л. Г. (2003). Механика жидкости и газа. М.: Дрофа, 842.
2. Genick, В.-М. (2013). Basics of Fluid Mechanics. Chicago, 604. URL: [https://www.academia.edu/10908681/Fluid\\_Mechanics\\_Genick\\_Bar\\_Meir](https://www.academia.edu/10908681/Fluid_Mechanics_Genick_Bar_Meir)
3. Ferziger, J. H. (1998). Numerical methods for engineering applications. Wiley, 400. URL: <https://www.wiley.com/en-us/Numerical+Methods+for+Engineering+Applications%2C+2nd+Edition-p-9780471116219>
4. Budarin, V. (2016). Analytical description of the flow of the newtonian liquid in a round tube and on a horizontal plate. Eastern-European Journal of Enterprise Technologies, 6 (7 (84)), 43–49. doi: <https://doi.org/10.15587/1729-4061.2016.85468>
5. Hashemi, J. (2006). Foundations of Materials Science and Engineering. McGraw-Hill.
6. Terry, T. (2005). Thermal Conductivity: Theory, Properties, and Applications. Springer.
7. Khedr, W. S. (2017) Classical Fundamental Unique Solution for the Incompressible Navier-Stokes Equation in RN. Journal of Applied Mathematics and Physics, 5, 939–952. doi: <https://doi.org/10.4236/jamp.2017.54083>
8. Ivanchin, A. (2018). Delusions in Theoretical Hydrodynamics. World Journal of Mechanics, 08 (09), 387–415. doi: <https://doi.org/10.4236/wjm.2018.89029>

9. Mamaghani, N. A., Jenkins, P. E. (2020). Computational Fluid Dynamics Analysis of Multi-Bladed Horizontal Axis Wind Turbine Rotor. *World Journal of Mechanics*, 10 (09), 121–138. doi: <https://doi.org/10.4236/wjm.2020.109009>
10. Anan'ev, A. V., Mironov, V. V., Moiseeva, D. A., Cherkasov, S. G. (2015). Anisotropic effect of natural convection on the temperature field in an enclosure in the presence of stable temperature stratification. *Fluid Dynamics*, 50 (5), 681–690. doi: <https://doi.org/10.1134/s0015462815050105>
11. Козлов, А. Н. (2009). Двухжидкостная магнитогидродинамическая модель течений плазмы в квазистационарном ускорителе с продольным магнитным полем. *Прикладная механика и техническая физика*, 50 (3), 44–55.
12. Constantin, P. (2001) Some Open Problems and Research Directions in the Mathematical Study of Fluid Dynamics. *Mathematics Unlimited – 2001 and Beyond*. Springer, 353–360. doi: [https://doi.org/10.1007/978-3-642-56478-9\\_15](https://doi.org/10.1007/978-3-642-56478-9_15)
13. Lockerby, D. A., Reese, J. M., Gallis, M. A. (2005). Capturing the Knudsen Layer in Continuum-Fluid Models of Nonequilibrium Gas Flows. *AIAA Journal*, 43 (6), 1391–1393. doi: <https://doi.org/10.2514/1.13530>
14. Pitakarnnop, J., Geoffroy, S. (2008). Slip flow in triangular and trapezoidal microchannels. *International Journal of Heat and Technology*, International Information and Engineering Technology Association, 26 (1), 167–174.